

电流互感器10%誤差 曲綫試驗法

哈尔滨電業局 著
哈尔滨工業大學

电力工业出版社

前　　言

电力系統繼電保護裝置運行的可靠性，相當程度地受電流互感器誤差特性的影响。苏联在設計選擇繼電保護用電流互感器時，都以 10 % 誤差曲綫為根據。我國電力系統中全部旧有的電流互感器，均缺乏該項資料，因而影響了繼電保護裝置運行水平的進一步提高。運行經驗証明，由於電流互感器選用不當而造成的繼電保護裝置的不正確動作，影響了電力系統的安全運行。

根據上述原因來看，進行對電流互感器 10 % 誤差曲綫各種實測方法的探討，顯然是十分必要的。在本研究報告中，詳細的介紹了各種類型電流互感器的試驗方法，並針對我國電力系統試驗設備條件，提出了幾種試驗方案，加以比較，供從事繼電保護工作的人員參考。

該項研究工作，是在蘇聯專家指導下，由哈爾濱電業局、哈爾濱工業大學與電力部電機修造局沈陽中心試驗所共同配合完成的。吳伯、王、江、陳、王、張、吳、允、范、崇、潤、魯、宗、霖、章、華等同志參加了該項研究工作。研究報告承蘇沛浦同志校核。

本報告內容如有錯誤之處，請予提出批評，寄交哈爾濱電業局。

目 录

前言

第一章 电流互感器的誤差及 10 %誤差曲綫	1
§1. 电流互感器的負阻对誤差的影响	1
§2. 10%誤差曲綫	4
第二章 伏安特性法.....	6
§1. 概論	6
§2. 試驗結線及試驗仪表	11
§3. 电流互感器二次阻抗的測定	15
§4. 試驗程序及注意事項	22
§5. 几种电流互感器的試驗結果	25
第三章 一次側通电流法.....	42
§1. 概論	42
§2. 电流发生装置和大电流測量方法	43
§3. 套管型电流互感器特殊試驗方法	46
§4. 套管型电流互感器試驗結果	48
§5. 二次模拟負阻的制作	51
第四章 二次側通电流法.....	53
§1. 概論	53
§2. 互感器标称比与匝数比不同的补偿	55
§3. 試驗程序及注意事項	57
§4. 几种电流互感器的試驗結果	61
第五章 結論.....	65
附录 电流互感器(繼電保護用)根据容許誤差的計算*	67

第一章 电流互感器的誤差及 10% 誤差曲線

§ 1. 电流互感器的負担对誤差的影响

电流互感器的二次綫圈联接于負担 Z_H 上，如图1所示。此負担或为儀表或为機电器……，其值对电流互感器的誤差有极大的影响。

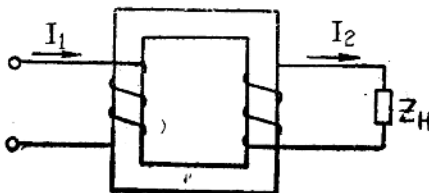


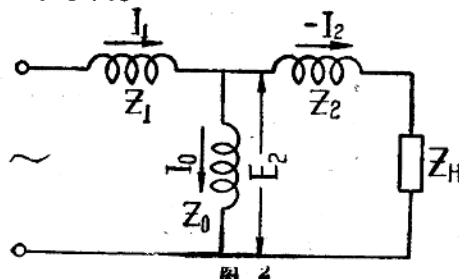
图 1

图2为互感器的等价图， Z_2 为其二次綫圈阻抗，此阻抗与負担 Z_H 相加，即为互感器的二次侧阻抗 Z_s 即：

$$\dot{Z}_s = \dot{Z}_2 + \dot{Z}_H = z_s / \alpha . \quad (1)$$

式中 z_s —— 絶對值；

α —— 阻抗角。



如互感器的圈数比为 K_T , 并将图2中各参数均归算至一次侧时, 可繪出向量图如图3。图中:

$$I'_1 = -K_T I_2 \quad (2)$$

I'_1 为归算至一次侧的二次侧电流。

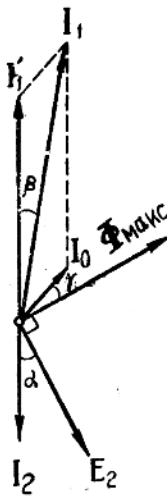


图 3

有时, 为了計算方便, 常将所有参数归算至二次侧, 此时向量图将如图4。图中:

$$I'_2 = I_2 / K_T \quad (3)$$

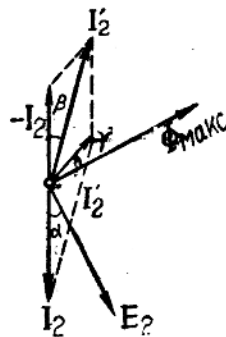


图 4

式中 I'_2 为归算至二次侧的一次侧电流, 或簡称“一次侧归算电流”。在一理想的互感器中, 如励磁电流 I_0 为零时, I' 的絕對值应与二次侧电流相等, 即 $I'_2 = -I_2$ 。但实际上由于 Z_S 与 Z_0 相較, 不能略而不計, 故 I_0 不可能为零。二次侧电流必小于一次侧归算电流, 其間之差为 I_0 , 即:

$$I_0 = I'_2 - (-I_2) = I'_2 + I_2 \quad (4)$$

由(4)式及图4可知, I'_2 为 I_2 及 I_0 两向量頂点的連綫, 另按电流互感器誤差之定义:

$$\text{电流誤差百分数 } \epsilon = \frac{I'_2 - I_2}{I'_2} \times 100 . \quad (5)$$

△

$$\text{相角誤差弧度數 } \beta = (I'_2)(-I_2) . \quad (6)$$

由(5)式可知，如二次側电流 I_2 保持一定时， I'_2 愈大，誤差也愈大，故即可利用一简单的向量图，說明互感器二次側阻抗的阻抗角 α 对誤差的影响。

一般繼電保護用的电流互感器二次側負擔均为电感性。故当其二次側阻抗絕對值 z_2 保持不變，但 α 自 0° 至 90° 變化时，二次側电流 I'_2 頂點的變化軌跡将如图5中弧形虛線所示。

由图中可見当 $\alpha=90^\circ-\gamma$ 时， I'_2 最大，且与 I_2 在同一直線上，故互感器的电流誤差最大，而相角誤差为零；当 $\alpha=0$ 时，即二次側阻抗为純電阻性时， I'_2 为 AB 虛線，其長度在 α 角變化範圍(即 0° ~ 90°)中为最短，故知其誤差最小。

通常为了减小电流互感器在額定电流範圍內的誤差，恒使互感器的銘牌标称變流比(簡称标称比) K_H 大于其实際圈数比 K_T ，故在某种电流和負担下，互感器的二次电流 I_2 可能較一次側归算电流 I'_2 (按标称比归算)为大，須加以注意。

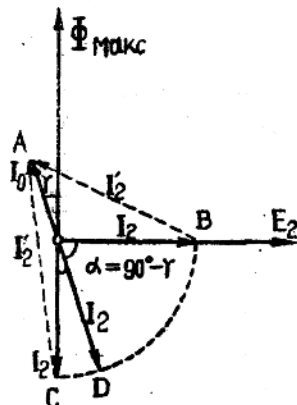


图 5

§ 2. 10% 誤 差 曲 線

一般电流互感器的準确度系指在一定二次負担和額定电流值下的容許誤差。此值仅能供选择联接儀表的电流互感器时的参考，对繼電保护装置意义不大。因为当电力系統发生故障而使繼電保护装置动作时，电流互感器一次側电流常为其額定值之若干倍，而通过互感器的电流愈大，其二次側感应电动势 E_s 愈高。如已高于其伏安特性中的直線运用部分时，励磁阻抗 Z_s 即急剧降低， I_s 必然增加，使互感器的誤差增大以致危及保护装置的灵敏度或選擇性，故选取繼電保护装置所用的电流互感器时，必須考慮当电力系統故障而通过甚大短路电流情况下的準确度。

由图2可得下式

$$\dot{E}_s = \dot{I}_s \dot{Z}_s = \dot{I}_s (\dot{Z}_s + \dot{Z}_H). \quad (7)$$

故知除 I_s 外，尚有 Z_H 影响 E_s 值。如 I_s 之值甚大，但欲使誤差在容許範圍內時，可減小 Z_H 之值。

为了繼電保护装置設計和运行的方便，苏联新制的电流互感器均給出所謂“10% 誤差曲綫”，此曲綫即为互感器的誤差为10%时，其一次側額定电流倍数 m 对二次側阻抗 Z_s 的关系，其形状如图6。有时为了利用上的方便，預先減去互感器二次線圈阻抗 Z_s ，曲綫的横座标即用二次負担值 Z_H 表示出来。

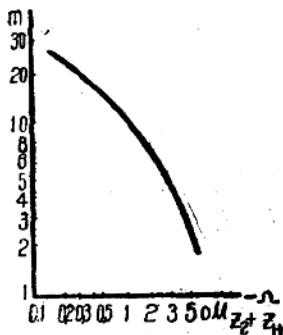


图 6

根据10%誤差曲綫，即可在繼電保護裝置設計時，決定在某種保護方式中的互感器容許二次負擔值。詳細應用方法可參考繼電保護導則計算篇第九章和“交流電操作的繼電保護”一書（見附錄）①。

在測制10%誤差曲綫時，可在互感器的二次側聯接一可變的模擬負擔 Z_H ，而逕從一次側通入電流如圖7，或從二次側通入電流如圖8，以求得10%誤差時的一二次側電流數值，最簡單者是由互感器的伏安特性中。計算其詳細試驗計算方法，將於以下各章分別詳細論述。

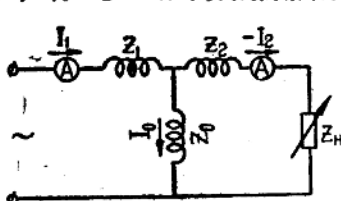


图 7

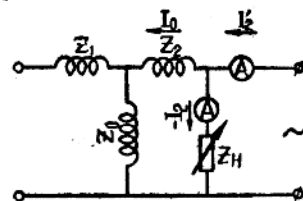


图 8

由§ 1，可知當二次側阻抗 Z_s 的阻抗角 $\alpha=90^\circ-\gamma$ 時，互感器的電流誤差最大。故為了考慮最不利時的情況，試驗時 Z_s 的阻抗角應保持為 $90^\circ-\gamma$ ，但 γ 值隨電流之增加而變更，且其值一般難以測定，故實際上不能保證上述條件。依照蘇聯專家建議：試驗時 Z_H 的阻抗角可定為 37° （即其功率為0.8），由此而得的10%誤差曲綫一般較接近於最不利的情況。

採用伏安特性計算而得的10%誤差曲綫，因在計算時假定 $\alpha=90^\circ-\gamma$ ，故為最不利的情況，按該曲綫作繼電保護設計最為安全。

①電力工業部瀋陽技術改進局（即前電力部東北電業管理局中心試驗所）1953年印發的繼電保護導則及蘇聯П.М.米里尼科著“交流電操作的繼電保護”第二章，均有詳細介紹。本書已把繼電保護導則計算篇第九章必需部分列為附錄。

第二章 伏安特性法

§ 1. 概論

电流互感器伏安特性試驗，原为用以求出励磁电流与感应电动势的关系。但在一般試驗时，为方便計，常按图9的結線法，即變更二次側电流以讀取电流表和电压表的指示值，由图10中可知試驗时加于二次側的电流全部为励磁电流，电压表的讀数不是感应电动势 E ，而为二次繞捲两端的电压 U ，

$$U = I_0(Z_0 + Z_2). \quad (8)$$

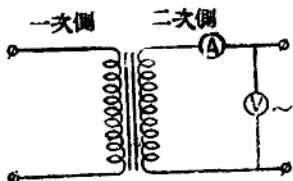


图 9

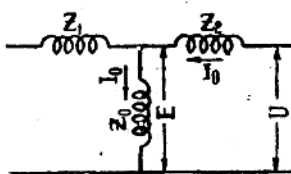


图 10

根据試驗結果，可以繪出电流互感器的 $U = f(I_0)$ 伏安特性曲綫 (I_0 的值应自0.5 安培起至30安培以上)，然后利用下列任一方法以計算10%誤差曲綫。

(a) 励磁阻抗曲綫法——即 $Z_0 + Z_2 = f(I_0)$ 曲綫法

根据(8)式及由伏安特性曲綫可求出 $(Z_0 + Z_2) = f(I_0)$ 曲綫如图11，然后将 $(Z_0 + Z_2) = f(I_0)$ 曲綫的橫座标 (I_0) 乘以2，作为10%誤差曲綫的縱座标，而将其縱座标乘以0.1，作为10%誤差曲綫的橫座标，则此时得出的 $Z_0 + Z_2 = f(I_0)$ 曲綫即近似地成为10%誤差曲綫。現證明如后：假設互感器

的标称比 K_H 与 圈数比 K_T 相同，此时由电流互感器等价图

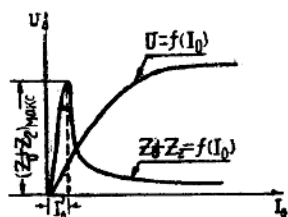


图 11

可得出励磁电流，

$$I_0 = \frac{Z_s + Z_H}{Z_0 + Z_s + Z_H} \cdot I_2'. \quad (9)$$

$$\therefore \frac{I_0}{I_2'} = \frac{Z_s + Z_H}{Z_0 + Z_s + Z_H}. \quad (10)$$

因在10%误差曲线中

$$\frac{I_0}{I_2'} = 0.1. \quad (11)$$

所以

$$\frac{Z_s + Z_H}{Z_0 + Z_s + Z_H} = 0.1. \quad (12)$$

也就是 $Z_s + Z_H = 0.1(Z_0 + Z_s + Z_H).$ (13)

如将(13)式右方的 Z_H 略而不计，则：

$$Z_s + Z_H \approx 0.1(Z_0 + Z_s). \quad (14)$$

又因电流互感器二次侧的额定电流为5安培，故(11)式可写成

$$\frac{I_0}{5m} = 0.1. \quad (15)$$

式中 m ——一次侧额定电流的倍数，

$$\text{所以 } m = 2I_0. \quad (16)$$

故由(14)式及(16)式即可证明上述计算方法。

本法的缺点是将二次负担 Z_H 略而不计。 Z_H 值约为 Z_s 的十分之一，故计算结果不够准确，仅能近似地检查电流互感器的误差。另外图11励磁阻抗曲线除可用以绘制10%误差曲线外，并可根据下述两点进行电流互感器特性的初步检查。

(1) 电流互感器的最大励磁阻抗 $(Z_0 + Z_2)_{Max}$ 愈高，則準確度愈高。

(2) 对应于最大励磁阻抗的励磁电流 I_0' 值愈小，則愈準確。

一般0.5級电流互感器的 I_0' 值仅数千分安培，而套管型电流互感器則最大可达数安培。

(b) 感应电动势曲綫法——即 $E = f(I_0)$ 曲綫法

由(8)式得出：

$$U = I_0 Z_0 + I_0 Z_2.$$

但

$$E = I_0 Z_0,$$

故可得

$$E = U - I_0 Z_2. \quad (17)$$

由(17)式可知，如将伏安特性 $U = f(I_0)$ 曲綫上的縱座標每点均减去对应的 $I_0 Z_2$ 时，即可求得 $E = f(I_0)$ 曲綫。 E 为当互感器励磁电流为 I_0 时，其二次繞捲的感应电动势。如此时二次側連接負担为 Z_H ，則通过 Z_H 的电流将为：

$I_2 = \frac{E}{Z_2 + Z_H}$ ，故即可計算得出10%誤差曲綫，其原理

及計算方法，按下列两种不同情况詳述如下：

(i) 当 $K_H \approx K_T$ 时，

一般繞綫式互感器的标称比 K_H 与圈数比 K_T 甚为近似，故可按本情况进行計算。

設通过互感器的一次側額定电流倍数为 m ，則一次側电流 I_1 为：

$$I_1 = 5m \cdot K_H. \quad (18)$$

如将一次側电流归算至二次側，可得出等价图如图12所示（假設互感器二次側电流 I_2 的方向与图1所示者相反）。当誤差为10%时，則：

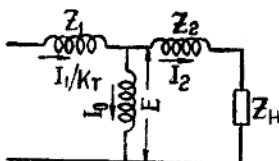


图 12

$$\frac{I_2}{I_1/K_T} = 0.9. \quad (19)$$

$$\text{即 } I_2 = 0.9 \frac{I_1}{K_T}. \quad (20)$$

今 $K_H \approx K_T$, 則 (20) 式可

写成为:

$$I_2 = 0.9 \frac{I_1}{K_T}. \quad (21)$$

$$I_0 = \frac{I_1}{K_T} - 0.9 \frac{I_1}{K_T} = 0.1 \frac{I_1}{K_T}. \quad (22)$$

在 $E = f(I_0)$ 曲线上, 查得对应于 (22) 式中 I_0 值的 E 值, 則:

$$Z_H + Z_2 = \frac{E}{I_2} = \frac{E}{0.9 \frac{I_1}{K_T}}.$$

由 (22) 式可知 $I_1 = 10 K_T I_0$,

$$\text{故 } Z_H + Z_2 = \frac{E}{0.9 \frac{10 K_T I_0}{K_T}} = \frac{E}{9 I_0}. \quad (23)$$

由 (18) 式得出:

$$m = \frac{I_1}{5 K_H} = \frac{10 K_T I_0}{5 K_H} = 2 I_0. \quad (24)$$

故根据 (23) (24) 式即可按下列順序計算 10% 誤差曲綫。

- (1) 作出 $E = f(I_0)$ 特性曲綫;
- (2) 按 (23) 式計算对应于 $E = f(I_0)$ 曲綫上每一 I_0 值的 $Z_H + Z_2$ 值;
- (3) 按 (24) 式計算对应于 $E = f(I_0)$ 曲綫上每一 I_0 值的 m 值;
- (4) 将以上 (2) (3) 两条所得的結果, 繪出 10% 誤

差时 $m = f(Z_H + Z_2)$ 曲线或 $m = f(Z_H)$ 曲线。

(ii) 当 $K_H \neq K_T$ 时,

套管型互感器的标称比与圈数比有时差别很大, 故计算时须考虑此两者的差别:

设通过互感器的一次侧额定电流倍数为 m ,

$$\text{则一次电流 } I_1 = 5m \cdot K_H. \quad (25)$$

如将一次侧电流归算至二次侧, 可得出等价图如图 13 所示, 当误差为 10% 时, 则:

$$\frac{I_1}{I_1/K_H} = 0.9. \quad (26)$$

$$\text{即 } I_1 = 0.9 \frac{I_1}{K_H}. \quad (27)$$

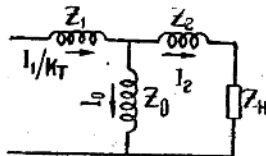


图 13

$$\begin{aligned} \text{故 } I_1 &= \frac{I_1}{K_T} - 0.9 \frac{I_1}{K_H} = I_1 \left(\frac{1}{K_T} - \frac{0.9}{K_H} \right) \\ &= I_1 \frac{K_H - 0.9 K_T}{K_T K_H}. \end{aligned} \quad (28)$$

$$\text{设 } K = \frac{K_T K_H}{K_H - 0.9 K_T}, \quad \text{则 } I_1 = \frac{I_1}{K}, \quad (29)$$

$$\text{或 } I_1 = K I_0. \quad (30)$$

故即可从 $E = f(I_0)$ 曲线上查得对应于 I_0 的 E 值。

$$\therefore Z_H + Z_2 = \frac{E}{I_1} = \frac{E}{0.9 \frac{I_1}{K_H}}.$$

由 (30) 式, 将 I_1 值代入

$$\text{则 } Z_H + Z_2 = \frac{E}{0.9 \frac{K I_0}{K_H}} = \frac{E}{0.9 \frac{K_T}{K_H - 0.9 K_T} I_0}. \quad (31)$$

由 (25) 式得出:

$$m = \frac{I_1}{5K_H} = \frac{KI_0}{5K_H} = \frac{K_T I_0}{5(K_H - 0.9K_T)}. \quad (32)$$

故根据(31)、(32)两式，即可按(1)节相似的程序，作出10%誤差时

$$m = f(Z_H + Z_s) \text{ 曲綫或 } m = f(Z_H) \text{ 曲綫。}$$

本法免除了励磁阻抗曲綫法的缺点，但因 $U - I_0 Z_s$ 运算时，不是採用向量减法，因此稍有誤差，然 $I_0 Z_s$ 与 U 相較不大，故誤差較小。

(c) $B-H$ 磁化曲綫法

如被測的电流互感器的鐵心磁化曲綫已由制造厂供給时，即可根据繼电保护导則計算篇第九章(見附录)方法，逕由磁化曲綫計算10%誤差曲綫。此法可免去(a)法及(b)法的缺点，但因制造厂供給的磁化曲綫仅为平均曲綫，与实际鐵心特性尚有出入，有时誤差頗大，且如无磁化曲綫时，現場难以測制，故无从計算。

比較上述各法之利弊，可知如利用伏安特性計算10%誤差曲綫时，以(b)法[即 $E = f(I_0)$ 法]較為合宜，但事先必須較準確地測定互感器二次綫捲阻抗 Z_s 值。

§ 2. 試驗結綫及試驗儀表

在作伏安特性試驗时，試驗电源可从电流互感器一次側或二次側接入，如图14中的a及b图所示。

从一次側接入电源时，如果二次側所接的电压表为內阻极大的真空管型电压表，二次电流可以略而不計，而电压表的讀数即为二次綫圈的感应电动勢 E 。缺点是一次側的額定电流可能至一极大的数值，所需电源电流很大，故一般均採用图14b的联接方法。

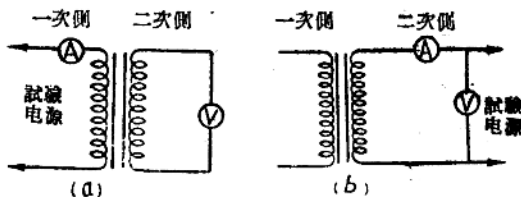


图 14

从二次側接入电源时，因任何电流互感器的二次側額定电流必不超过 5 安培，如計算的 10% 誤差曲綫的电流倍数 m 最大至 40 倍时，則所需电源电流約为 20 安培。但其缺点是电压表所量得的电压为互感器二次繞圈两端的电压 U ，故用互感应电动势法求 10% 誤差曲綫时，須减去二次繞捲的电压降 $I_0 Z_s$ 。

电源电流的調整可利用容量足够的負荷變阻器，自耦變压器或电压調整器。使用时各有优缺点，茲分別討論如下：

(i) 負荷變阻器

将足够容量的負荷变阻器 R 串联于互感器一次回路中。调节电流时如电源电压为正弦波 E_c ，則 $E_c = E + I_0 R$ ，令 $I_0 R > E$ ，則 $I_0 = \frac{E_c}{R}$ ，即 E 虽为非正弦波，但 I_0 可保持为正弦波。如果按图 14a 結綫試驗，电压表用整流式儀表时，測量結果最为準確。但大容量的負荷變阻器目前尙难找到，且又須从一次側接入电源，故一般均不採用。

(ii) 自耦變压器

利用自耦變压器的优点是調整方便，且当輸入电压为正弦波时，其輸出电压于伏安特性試驗过程中能保持为正弦波。目前 10A 以上的自耦變压器現場尙少，实行較困难。

(iii) 电压調整器

电压調整器，也有調整方便的优点，所需容量不大于10千伏安，一般現場和試驗室均能找到。但由于其一二次繞捲阻抗較大，輸入电压虽为正弦波，其輸出电压在伏安特性試驗過程中不能保持为正弦波，故对测量儀表类型的选择更应注意。

一般最常用的交流电气儀表可分为整流型、电磁型及电动型三种。其中整流型儀表反应于波形的平均值，电磁型和电动型均反应于波形的有效值，但所有各型儀表的刻度均按正弦波的有效值划分。

当所测电气数值为正弦波时，用任何型式儀表测得的結果均相同。但如为非正弦波时，则虽同一波形而用不同型式的儀表所得的結果将不同。故在試驗前須根据具体情况选择儀表类型，使試驗結果能符合实际需要。茲分別討論如下：

(i) 如用負荷變阻器按图 14a 結線調整电流时，所測电流为正弦波，故可用任何型式的电流表，而电压則除基本波外，尚有迟后 180° 的三次諧波，故其波形如图 15 所示。

由图中可知波形的平均值远較同
一基本波及三次諧波之和的有效值为
小，故使用电磁型电压表測量的結果
将較用整流型者为大。互感器的饱和
程度愈高时，两者讀数相差愈大，其

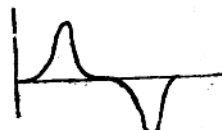


图 15

值可至二、三十伏以上，但因铁心內的磁通密度与二次感应电动势 E_2 的平均值成比例，故採用整流型电压表所量得的伏特数換算至磁通密度后，其值将与实际的磁通密度相同，故应採用整流型电压表。

(ii) 用自耦變压器調整电流时，所測电压必为正弦波，故可用任何型式的电压表。但所測电流为具有三次諧波的非

正弦波形(图15)，其平均值較有效值小，故採用整流型电流表测量电流时，测量的結果必較用电磁型电流表時为低。由于計算10%誤差曲綫，应考虑最不利的情况，故建議採用电磁型电流表（或电动型），使10%誤差曲綫的使用更为安全。

(iii) 用电压調整器調整电流时，电流及电压均为如图15的非正弦波形，故对电流表及电压表均須谨慎选择。此时考虑最不利的情况，建議採用整流型电压表及电磁型电流表。

經实际用自耦變壓器、电压調整器及各种不同的儀表組合作出試驗(見§5)，可知如採取以上所建議的儀表組合时，利用自耦變壓器或电压調整器調整电流所得的伏安特性曲綫均大致相同。

如所採用之电压表及电流表均为电磁型时，应採用图14b的連接法，将电压表接于电源側。原因是电磁型电压表的內阻較小（苏联150伏电磁型电压表的內阻約3300歐，75伏刻度約為1700歐），而一般电流互感器的励磁阻抗于上述电压范围时，可能在100歐以上，故如将电压表接于負荷側时，则如图16，电流表所量得的电流除励磁电流外，尚有通过电压表的电流，殊不準確。如按图14b結綫，一般苏联0.5級电磁型电流表的損耗約1.2瓦，即用2.5安培的刻度时，其內阻約为0.2歐，故电流互感器的阻抗較电流表的內阻已大至100倍以上，由于电流表內阻所造成的电压降可略而不計。

如用整流型电压表时，因其內阻較大（一般均在 $330\Omega/\text{伏}$ 以上），有时如所測的电流互感器的励磁阻抗較小，其值不及

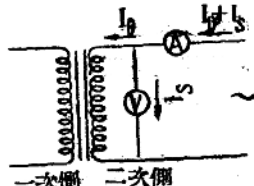


图 16